

***ELASTİK ZEMİNE OTURAN  
BOŞLUKLU PERDELERİN ELASTO - PLASTİK DAVRANIŞI***

***ELASTO - PLASTIC BEHAVIOUR OF COUPLED SHEAR WALLS  
ON ELASTIC FOUNDATION***

Üzeyir Ayazoğlu<sup>1</sup>, Kaya Özgen<sup>2</sup>

**SUMMARY**

In this study, elastic and elasto-plastic behaviour of the coupled shear walls with elastic foundation are examined. In the coupled shear walls, the classic continuum method is adopted, with the base flexibility modelled by effectif rotational and vertical elastic stiffness,  $K_\theta$  and  $K_v$  respectively. Closed solution have been given for an uniformly distributed lateral load over the height of structure. Using the continuum approach of analysis, the connecting beams are replaced by a continuous distribution of laminas with equivalent stiffness. Assuming that the midpoints of contraflexure, and if a cut is made along the midpoint of the laminas, a distribution of shear forces along the cut will be exposed. From the compatibility and equilibrium of moment considerations at any  $\epsilon = x/H$  section, following differential equation is obtained for the axial force,  $T(\epsilon)$

$$\frac{d^2T}{d\epsilon^2} - \alpha^2 T = -\beta^2 M_e(\epsilon)$$

A solution to the differential equation with the applied external moment  $M_e(\epsilon) = PH^2(1-\epsilon)^2/2$  is given by

$$T(\epsilon) = Bsh\alpha\epsilon + Cch\alpha\epsilon + \beta^2 PH^2[(1-\epsilon)^2/2 + 1/\alpha^2]/\alpha^2$$

The values of the arbitrary constant B and C are to be determined by the boundary condition of the elastic and elasto- plastic behaviour. Once the axial force distribution, is known the distributed shear intensity,  $q(\epsilon)$ , in the connecting beams can be found by

$$q(\epsilon) = -dT/d\epsilon$$

and depending on the external moment  $M_e(\epsilon)$ , the bending moments,  $M(\epsilon)$ , on the walls by

$$M(\epsilon) = M_e(\epsilon) - T(\epsilon)L$$

---

<sup>1</sup> Dr. Yk. Müh., Bakırköy, İstanbul

<sup>2</sup> Prof. Dr., İ.T.Ü. Mimarlık Fakültesi, Taksim, İstanbul

When the structure is loaded beyond the elastic range, plastic behaviour develops in the connecting continuum and elastic and plastic regions are formed over the height of structure. A plastic region forms when the coupling shear  $q$  equals  $q_u$ . Depending on the level of the load, beyond the first yielding continuum, as well as on properties of the structure and the flexibility of the foundation, up to three different zones for  $q$  may form:

-- *State- I* occurs, when the foundation soil is relatively stiff. Boundary coordinates  $\epsilon_1$  and  $\epsilon_2$  define the limits of the middle plastic zone

-- *State- II* may occur as the result of either a relatively soft base condition and/or increasing the load for State- I. Boundary co-ordinate  $\epsilon_2$  does not exist in that case

-- *State- III* may occur as the result of relatively stiff walls and a stiff supporting soil. Boundary coordinate  $\epsilon_1$  does not exist in that case.

### ÖZET

Bu çalışmada, yüksekliği boyunca düzgün yayılı yatay yük etkisindeki boşluklu perdenin temel dönmeleri ve çökmeleri hesaba katılarak, elastik ve elasto-plastik davranışları incelenmiştir. Perde temeli, dönme ve çökmeye karşı rıjitliği,  $K_\theta$  ve  $K_v$  olan elastik yaylarla, perdeleri bağlayan kırışlarla perde yüksekliği boyunca sürekli/yayılı duruma dönüştürülerek idealleştirilmiştir. Bu varsayımlar altında önce boşluklu perdedeki bağlantı kırışlarının elastik davranışına ilişkin analitik çözüm geliştirilmiştir. Bundan sonra bağlantı kırışlarının uçlarında plastik mafsallar olduğu varsayılarak sistemin çözümü araştırılmıştır. Yatay yükün şiddetine, temelin fleksibilitesine, perdenin rıjitliğine, bağlantı kırışının rıjitliği ve kesme kuvveti taşıma kapasitesine bağlı olarak sisteme üç değişik plastikleşme durumu oluşmaktadır. Elde edilen analitik çözümler değişik zemin ve temel (tekil ya da sürekli) durumları için örnek bir sisteme uygulanarak, vanılan sayısal sonuçlar değerlendirilmiştir.

### GİRİŞ

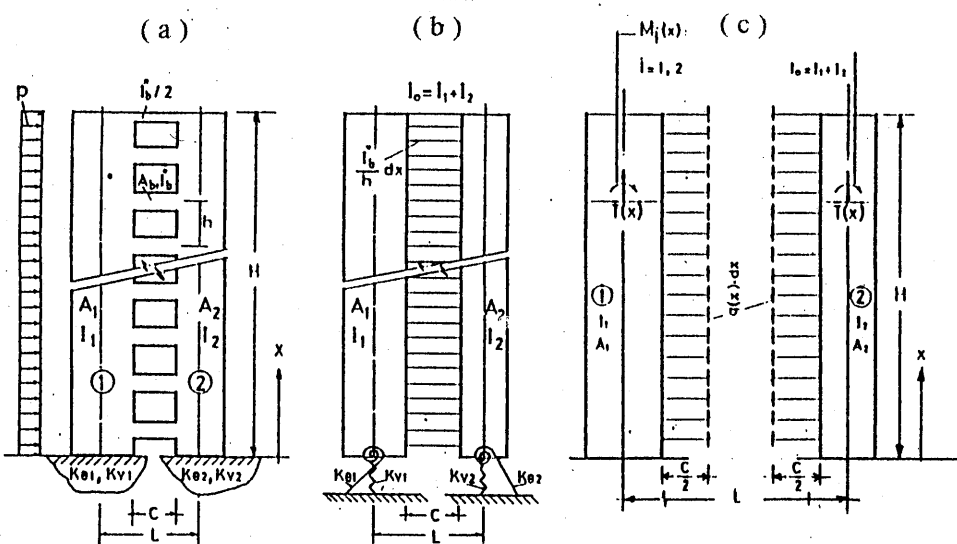
Betonarme yüksek binalarda yatay yüklerle karşı dayanımı sağlamak için betonarme perdeler yoğun olarak kullanılmaktadır. Böyle sistemlerde kapı, pencere vb. boşlukların bırakılması zorunluluğundan perdeli sistemin özel bir şekli olan boşluklu perde ortaya çıkar. Yatay yüklerin oluşturduğu kesit tesirlerinin büyük bir kısmının perdeler tarafından karşılanması perde temellerindeki kesit tesirlerini ve yerdeğistirmeleri zeminin özelliklerine bağlı olarak büyük değerlere çıkarabilemektedir. Yapı temellerinin rıjitliği oturdukları zeminin özellikleriyle birlikte temel boyutları ve şecline (tekil ya da sürekli) de bağlıdır. Temellerin rıjitliğini etkileyen bu özellikler aynı zamanda yapının yatay yüklerle karşı rıjitliğini de önemli ölçüde etkilemektedir.

Mimari zorunluluklar nedeniyle sistemindeki bağlantı kırış boyutları çoğu zaman tüm katlarda sabit tutulur ve belli bir değeri aşmayacak şekilde düzenlenir. Bu durumda yatay yük altındaki boşluklu perdenin bağlantı kırışları bazı bölgelerde yetersiz kalabilir. Bu durum sistemin elastik sınırın ötesindeki taşıma gücünden faydalansın, bir başka

deyişle elasto-plastik olarak incelenmesini gerektirir. Böylece yatay yükün şiddetine, temelin fleksibilitesine, perdenin rıjilikbine ve bağlantı kırışlarının taşıma gücüne bağlı olarak boşluklu perde sisteme çeşitli plastikleşme durumları ortaya çıkar.

### SEÇİLEN MODEL, MATEMATİK BAĞINTILAR

İncelenenek sistem, yüksekliği boyunca düzgün yaylı yatay yük etkisinde ve geometrik özellikleri Şekil 1.a' da verilen boşluklu bir perde şeklinde alınmaktadır. Perdelerin ve bağlantı kırışlarının atalet momentleri ve enkesit alanları sırasıyla  $I_i$ ,  $A_i$  ( $i=1,2$ ),  $I_b$ ,  $A_b$  ile gösterilmiştir. Perde temeli, dönmeye ve düşey yerdeğiştirmeye karşı rıjilik sırasıyla  $K_v$  ve  $K_\theta$  olan elastik yaylarla, bağlantı kırışları de perde yüksekliği boyunca sürekli/yaylı duruma dönüştürülerek idealleştirilmiştir (Şekil 1.b, c). Perde rıjilikleriyle temel rıjilikleri arasındaki oranlar sabit kalırmak koşuluyla perde temelindeki dönmelerin aynı ve bağlantı kırışlarının açılık ortalarında da momentin sıfır olduğu varsayılmaktadır [1, 8].



**Şekil 1.** Yatay Yük Etkisindeki Boşluklu Perde, Fiktif Sistem, Kesit Tesirleri

Tekil temelin taban alanı ( $A_p$ ), atalet momenti ( $I_p$ ), eksenel kuvvet ( $T_0$ ), eğilme momenti ( $M_0$ ) ve zeminin yatak katsayısı ( $k_s$ )' na bağlı olarak temel tabanındaki düşey yerdeğiştirme ( $\Delta$ );

$$K_{vi} = k_s A_{fi}, \quad 1/K_v = 1/K_{v1} + 1/K_{v2}, \quad \Delta = T_0/K_v \quad (i=1,2) \quad (1)$$

ve dönmeye yerdeğiştirmesi ( $\theta_0$ )

$$K_{\theta i} = k_s I_{fi}, \quad K_\theta = K_{\theta 1} + K_{\theta 2}, \quad [dy/dx]_0 = \theta_0 = M_{01}/K_{\theta 1} = M_{02}/K_{\theta 2} = M_0/K_\theta \quad (2)$$

bağıntılarıyla bilinmektedir. Zemin taşıma kapasitesi düşük olduğunda veya sistemin yatay rıjitliğini artırmak amacıyla kullanılan sürekli temel durumunda temel tabanındaki dönme ve çökme rıjitliği ( $K_\theta$  ve  $K_v$ ) de artar. Temelin eğilme rıjitliği ( $\bar{EI}$ ), boşluk genişliği ( $c$ ) ve perde genişlikleri ( $b_{w1}$  ve  $b_{w2}$ )'ne bağlı olarak çökme rıjitliğindeki artış ( $K_{vf}$ );

$$K_{vf} = 12\bar{EI}/c$$

dönme rıjitliğindeki artış ( $K_{\theta f}$ ) ise

$$K_{\theta f} = (G\bar{EI}/c^3)(b_{w1}^2 + 2b_{w1}c + 2c^2 + 2b_{w2}c + b_{w2}^2)$$

bağıntılarıyla verilmektedir [7]. Bağlı kırıcı uç momentleri ve kesme kuvveti, perde eksenel kuvveti ve temel çökmesine bağlı olarak perde eğilmesi boşluklu perde sistemde;

$$L \frac{dy}{dx} - \left[ \frac{hc^3}{12EI_b} + \frac{hc}{GA_b^*} \right] q(x) - \left( \frac{1}{EA_1} + \frac{1}{EA_2} \right) \int_0^x \int_0^H q(\lambda) d\lambda d\eta - \Delta = 0 \quad (3)$$

düşey sürekliilik denklemini vermektedir [1, 2, 3, 4]. Bu bağıntı  $1/A = 1/A_1 + 1/A_2$  ve

$$I_b^* = I_b / [1 + 12EI_b / (GA_b^* c^2)], \quad \int_0^x T dx = \int_0^x \int_0^H q(\lambda) d\lambda d\eta$$

ara değerleri yardımıyla

$$L \frac{dy}{dx} - \frac{hc^3}{12EI_b^*} q(x) - \frac{1}{EA} \int_0^x T dx - \Delta = 0 \quad (4)$$

şeklini almaktadır.  $M_e(x)$  dış momenti ve  $T(x)$ , e bağlı olarak sistemin moment dengesi

$$M_e(x) = EI_0 d^2y/dx^2 + LT(x), \quad I_0 = I_1 + I_2 \quad (5)$$

şeklinededir. Fiktif bağlantı kırıcı kesme kuvveti  $q(x)$  ile perde eksenel kuvveti  $T(x)$  arasında da  $q(x) = -dT/dx$  bağıntısı geçerlidir.

### **ELASTİK DAVRANIŞ**

Süreklik denklemindeki  $y(x)$  ve  $q(x)$  fonksiyonları  $T(x)$ 'e göre ifade edildiğinde  $M_e(x) = P(H-x)^2/2$  dış momenti ve  $\mu^2 = 12EI_b^* L/hc^3$  parametresi yardımıyla

$$\frac{d^2T}{dx^2} - \frac{L\mu^2}{EI_0} \left( 1 + \frac{I_0}{AL^2} \right) T = - \frac{\mu^2}{2EI_0} P(H-x)^2 \quad (6)$$

bağıntısı yazılabilir.  $\varepsilon = x / H$  boyutsuz değişkeni ve  $\alpha^2 = L\mu^2H^2 (1 + I_0 / AL^2) / EI_0$ ,  $\beta^2 = \mu^2H^2 / EI_0$  yardımcı parametreleri yardımıyla

$$d^2T/d\varepsilon^2 - \alpha^2 T = -\beta^2 PH^2(1-\varepsilon)^2/2 \quad (7)$$

elde edilir. Bu denklemin homojen ve özel çözümünden perde eksenel kuvveti  $T(\varepsilon)$  için

$$T(\varepsilon) = Bsh\alpha\varepsilon + Cch\alpha\varepsilon + \beta^2 PH^2[(1-\varepsilon)^2/2 + 1/\alpha^2] / \alpha^2 \quad (8)$$

bulunur. Elastik davranışa ilişkin bu bağıntı aynı zamanda sistemin elasto-plastik davranışında da temel oluşturmaktadır; B ve C sabitleri  $x=H$ ;  $T=0$  bağıntısı ve süreklilik denkleminin  $x=0'$  a karşı gelen,

$$L [dy/dx]_0 - (L/\mu^2) q_0 - \Delta = 0, \quad [dT/Hd\varepsilon]_0 = [dT/dx]_0 = (F_r + F_s)T_0 - F_r PH^2/2L$$

bağıntılarının oluşturduğu iki sınır koşulundan elde edilmektedir. Buradaki  $F_r = L\mu^2/K_0$  ve  $F_s = \mu^2/LK_v$  parametreleri aynı zamanda zeminin dönme ve çökme fleksibilitesi olarak da adlandırılmaktadır. Böylece B ve C sabitleri;

$$B = \left[ \frac{H^2}{\alpha + H(F_r + F_s)th\alpha} \right] \left( \frac{\beta^2}{\alpha^2} P[H(F_r + F_s)(\frac{1}{2} + \frac{1}{\alpha^2} - \frac{1}{\alpha^2 ch\alpha}) + 1] - \frac{PHF_r}{2L} \right) \quad (9)$$

$$C = -Bth\alpha - \beta^2 PH^2/\alpha^4 ch\alpha \quad (10)$$

şeklini alır. Perde eksenel kuvveti  $T(\varepsilon)$  bulunduktan sonra fiktif bağlantı kırışlarındeki kesme kuvveti  $q(\varepsilon)$  ve perde momentleri  $M(\varepsilon)$

$$q(\varepsilon) = -dT/Hd\varepsilon = -\alpha (Bch\alpha\varepsilon + Csh\alpha\varepsilon) / H + \beta^2 PH(1-\varepsilon) / \alpha^2 \quad (11)$$

$$M(\varepsilon) = PH^2(1-\varepsilon)^2/2 - LT(\varepsilon) \quad (12)$$

bağıntılarından elde edilir [1, 5, 8].

### **ELASTO-PLASTİK DAVRANIŞ**

Zeminin fleksibilitesi, yapının geometrik özellikleri ve yüklemeye bağlı olarak fiktif sistemde  $q(x)$  kesme kuvvetleri elastik sınır ( $q_u$ )'a ulaşabilir. Böylece yapı yüksekliği boyunca belirli bir bölgedeki bağlantı kırışları plastikleşerek uçlarında plastik mafsallar oluşur [1, 6, 7]. Bütün bu etkenlerden sistemde üç değişik plastikleşme durumu ortaya çıkar (Şekil 2.).

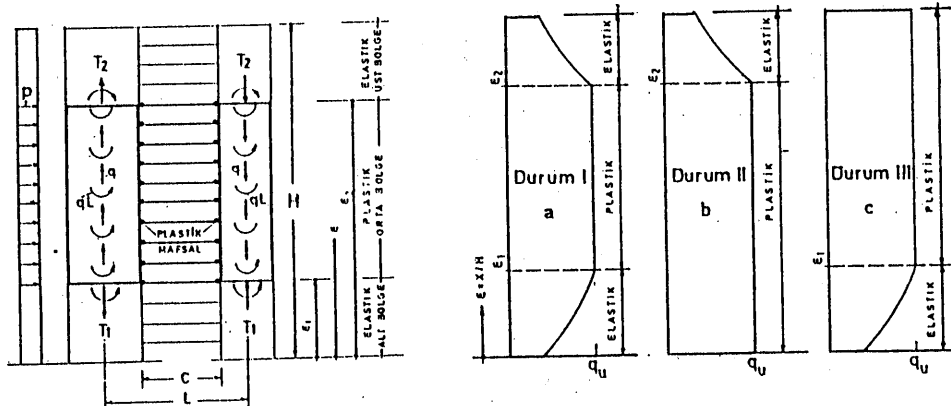
-- **Durum-I** ; İki elastik bölgeyle sınırlanmış bir plastik bölgeyi içeren bu durumda davranış türüyle belirleyebilmek için Şekil 2.a' daki üç bölgeye ilişkin  $T(\varepsilon)$  fonksiyonlarının ayrı ayrı incelenmesi gereklidir. Buna göre,

$$0 \leq \epsilon < \epsilon_1; \quad \epsilon = \epsilon_1 \rightarrow q = q_u, \quad \epsilon = 0 \rightarrow [dT/Hd\epsilon]_0 = (F_r + F_s)T_0 - F_r PH^2/2L$$

$$\epsilon_1 \leq \epsilon < \epsilon_2; \quad q = q_u$$

$$\epsilon_2 \leq \epsilon < 1; \quad \epsilon = 1 \rightarrow T = 0, \quad \epsilon = \epsilon_2 \rightarrow [dT/Hd\epsilon] = q_u$$

sinir koşulları yardımıyla (8) bağıntısındaki B ve C sabitleri alt elastik bölgede



*Sekil 2. Boşluklu Perde Sistemde Plastikleşme Durumları*

$$C_1 = \frac{H^2}{H(F_r + F_s) + \alpha h \sigma \epsilon_1} \left[ \left( \frac{\beta^2}{\alpha^2} [P(1-\epsilon_1) - q_u/H] / \alpha h \sigma \epsilon_1 - \frac{\beta^2}{\alpha^2} P - (F_r + F_s) \right) - \frac{PH(1/2 + 1/\alpha^2) + F_r PH/2L}{\alpha^2} \right] \quad (13)$$

$$B_1 = (H^2/\alpha h \sigma \epsilon_1) \left( \beta^2 [P(1-\epsilon_1) - q_u/H]/\alpha^2 \right) - C_1 \alpha h \sigma \epsilon_1 \quad (14)$$

üst elastik bölgede ise

$$B_2 = [H^2/\alpha h \sigma (1-\epsilon_2)] \left\{ [\beta^2 P(1-\epsilon_2)/\alpha^3 - q_u/\alpha H] \alpha h \sigma + \beta^2 P \alpha h \sigma \epsilon_2 / \alpha^4 \right\} \quad (15)$$

$$C_2 = -B_2 \alpha h \sigma - \beta^2 P H^2 / \alpha^4 \alpha h \sigma \quad (16)$$

şeklini almaktadır. Bulunan bu sabitler yardımıyla alt ve üst ( $i=1,2$ ) elastik bölgelere ilişkin  $T(\epsilon)$ ,  $q(\epsilon)$  ve  $M(\epsilon)$  fonksiyonları kolaylıkla elde edilir.  $\epsilon = \epsilon_1$ ;  $T = T_1$  olmak üzere plastik bölgedeki eksenel kuvvet ifadesi  $T(\epsilon)$  bulunur:

$$T(\epsilon) = T_1 - q_u H (\epsilon - \epsilon_1)$$

--*Durum-II*; Bu durumda sistemin davranışının elastik bir üst ve plastik bir alt bölge olmak üzere iki bölgeden oluşur. Bu nedenle  $\epsilon_1$  söz konusu değildir (Şekil 2.b). Bu iki bölgeye ilişkin  $T(\epsilon)$  ve  $q(\epsilon)$  fonksiyonları alt plastik bölgede;

$$0 \leq \epsilon < \epsilon_2; \quad T(\epsilon) = T_0 - q_u H \epsilon, \quad q(\epsilon) = q_u$$

ve üst elastik bölgelerde ( $\epsilon_2 < \epsilon \leq 1$ ) ise (8, 11) bağıntılarındaki B, C sabitleri yerine  $B_2$ ,  $C_2$  konularak elde edilir.

**-Durum-III:** Elastik bir alt ve plastik bir üst bölgeden oluşan bu durumda  $\epsilon_2$  sözkonusu değildir (Şekil 2.c). Bu durumda T( $\epsilon$ ) ve q( $\epsilon$ ) fonksiyonları alt elastik bölgede (8, 11) bağıntılarındaki B, C sabitleri yerine  $B_1$ ,  $C_1$  konularak, üst plastik bölgede ise

$$T_1 = T(\epsilon_1), \quad T(\epsilon) = T_1 - q_u H(\epsilon - \epsilon_1), \quad q(\epsilon) = q_u$$

bağıntılarından bulunur. Böylece T( $\epsilon$ ) belirlendikten sonra herhangi bir  $\epsilon$  yüksekliğindeki M( $\epsilon$ ) perde momentleri (12) bağıntısından, i. kattaki gerçek bağlantı kırışına ilişkin kesme kuvveti  $Q_{bi}$  ise  $x_i$  yüksekliğine bağlı olarak,

$$Q_{bi} = T[(x_i - h_i)/H] - T[(x_i + h_i)/H] \quad (18)$$

bağıntısından elde edilir. Sistemin davranışını karakterize eden  $\epsilon_1$  ve  $\epsilon_2$  ordinatları (4) bağıntısının  $\epsilon = \epsilon_2$  ve  $\epsilon = \epsilon_1'$  deki değerlerinin farkından,

$$H^2[(\epsilon_2^3 - \epsilon_1^3)/3 - (\epsilon_2^2 - \epsilon_1^2) + (\epsilon_2 - \epsilon_1)] - (L + l_0/\lambda L)[2T_1(\epsilon_2 - \epsilon_1) - q_u H(\epsilon_2 - \epsilon_1)^2] = 0 \quad (19)$$

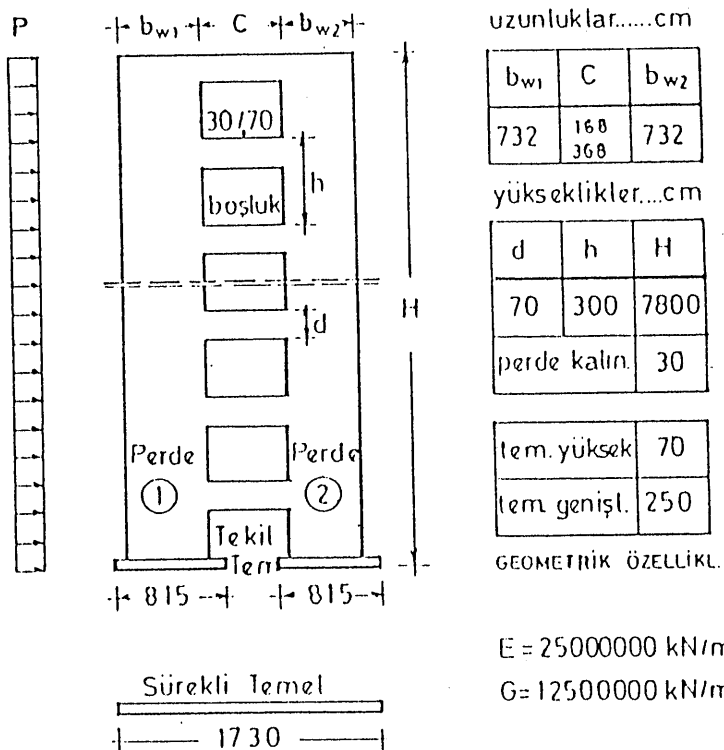
ve  $\epsilon = \epsilon_2'$  deki düşey dengeden,  $T_2 = T_1 - q_u H(\epsilon_2 - \epsilon_1)$  şeklinde elde edilen doğrusal olmayan iki denklemin deneme-yanılma ya da Newton-Raphson yöntemiyle çözümünden bulunur [6].

### SAYISAL UYGULAMA

Geometrik özellikleri Şekil 3' de verilen boşluklu perdenin üç tip zemine oturması durumunda düzgün yayılı P yatay yük etkisi altındaki davranışlarının incelenmesi: Sistem, elastisite ve kayma modülleri  $E = 2.5 \times 10^6$ ,  $G = 1.25 \times 10^6$  kN/m<sup>2</sup> ve enkesiti 30/732 olan iki perdenin 30/70'lik kat kırışları ile birbirine bağlanmasıından oluşmaktadır. Tekil ve sürekli temel durumları için, çökme ve dönme rıjiliklerinin üç tip zeminin yatak katsayısına bağlı değerleri Tablo 1' de verilmiştir. Önce yatay yük  $P = 57$  kN/m ve bağlantı kırışı açıklığı  $c = 1.68$  m. alınarak tekil ve sürekli temel durumundaki elastik davranış, daha sonra da sistemin tekil temele oturması durumunda yatay yükün şiddeti ve bağlantı kırışlarının açıklığı değiştirilerek sisteme üç değişik elasto-plastik davranış şekli elde edilmiştir (Şekil 4.). Tablo 2' de elastik Tablo 3' de ise elasto-plastik davranışa ilişkin kesit testleri ve temel yerdeğiştirmelerinin değerleri verilmiştir.

*Tablo 1.* Sistem Temelinin Çökme ve Dönme Rıjilikleri ( $K_v$ ,  $K_\theta$ )

Zemin Tipi	$k_s$ (kN/m <sup>3</sup> )	Tekil Temel		Sürekli Temel	
		$K_v$ (kN/m)	$K_\theta$ (kNm/rad)	$K_v$ (qN/m)	$K_\theta$ (kNm/rad)
1. Gevşek kum	30000	$23.50 \times 10^4$	$5.2 \times 10^6$	$34.50 \times 10^5$	$2.60 \times 10^8$
2. Orta sıkı kum	150000	$11.75 \times 10^5$	$26 \times 10^6$	$43.60 \times 10^5$	$2.84 \times 10^8$
3. Kaya	$\infty$	$\infty$	$\infty$	$\infty$	$\infty$



$$E = 25000000 \text{ kN/m}^2$$

$$G = 12500000 \text{ kN/m}^2$$

Sürekli temel

1730

**Şekil 3.** Düzgün Yaylı Yatay Yük Etkisindeki Boşluklu Perde

**Tablo 2.** Elastik Davranışa İlişkin Kesit Tesirlerinin Tabandaki Değeri

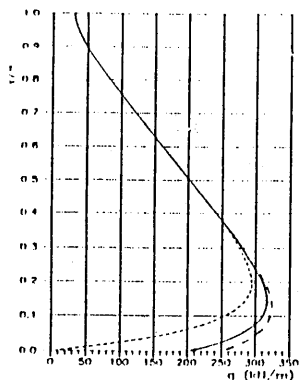
Temel	Eğri	$k_s$ (kN/m <sup>3</sup> )	$q_o$ (kN/m)	$T_o$ (kN)	$T_o/T_o^*$	$M_o$ (kNm)	$M_o/M_o^*$	$\Delta$ (cm)	$\theta_o$ (rad)
T e k i l	a <sub>1</sub> ---	30000	248.69	15040.8	1.10	38027	0.65	6.40	0.0073
	a <sub>2</sub> —	150000	202.49	14766.1	1.08	40499	0.73	1.26	0.0016
	a <sub>3</sub> .....	∞	0.00	13562.0	* 1.00	51339	* 1.10	-	-
s ü r e k l <sub>1</sub>	b <sub>1</sub> ---	30000	207.17	12330.1	0.90	62423	1.18	0.36	0.0002
	b <sub>2</sub> —	150000	145.55	12696.5	0.93	59125	1.13	0.29	0.0002
	b <sub>3</sub> .....	∞	0.00	13562.0	* 1.00	51336	* 1.00	-	-

Dömesiz ( $k_s \rightarrow \infty$ ) duruma karşı gelen değerler \*

**Tablo 3.** Elasto-Plastik Davranışa İlişkin Kesit Tesirlerinin Tabandaki Değeri

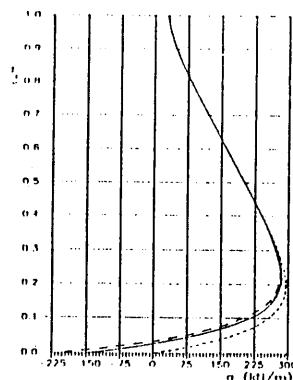
Eğri	$k_s$ (kN/m <sup>3</sup> )	P (kN/m)	C (m)	plas. durumu	Plas. $\epsilon_1$	Bölge $\epsilon_2$	$q_o$ (kN/m)	$T_o$ (kN)	$M_o$ (kNm)	$\Delta$ (cm)	$\theta_o$ (rad)
C <sub>1</sub> ---	30000	61.9	1.68	11	0.00	0.302	325	16314.1	41473	6.94	0.080
C <sub>2</sub> —	150000	61.9	1.68	1	0.057	0.270	229	16019.0	44129	1.36	0.0017
C <sub>3</sub> .....	∞	77.8	1.68	1	0.056	0.504	0.00	17992.2	74738	-	-
C <sub>4</sub> ---	∞	151.5	3.68	111	0.097	1.000	0.00	24214.5	194284	-	-

(a)



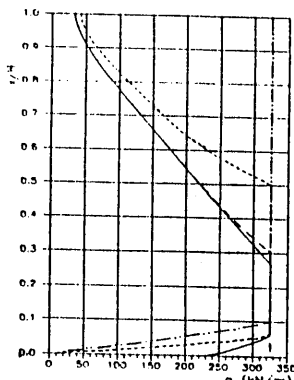
Fıkt. Bağl. Kırılı. Kes. Kuvveti.....

(b)

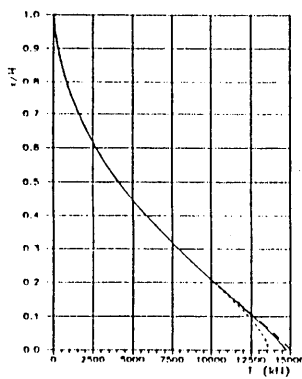


Fıkt. Bağl. Kırılı. Kes. Kuvveti.....

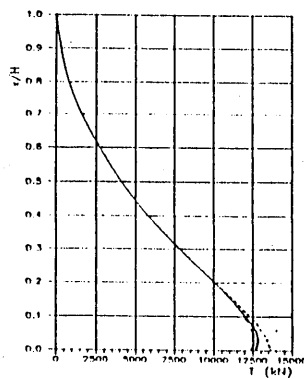
(c)



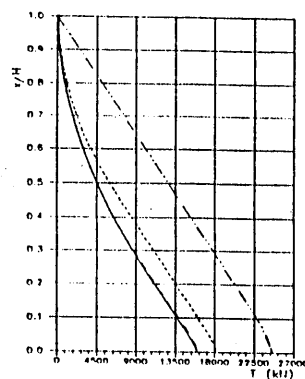
Fıkt. Bağl. Kırılı. Kes. Kuvveti.....



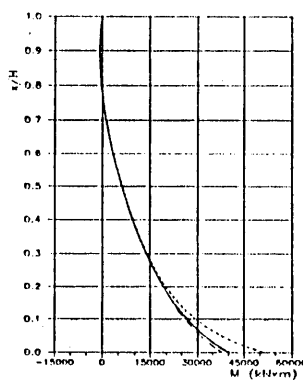
Perde Eksenel Kuvvetleri.....



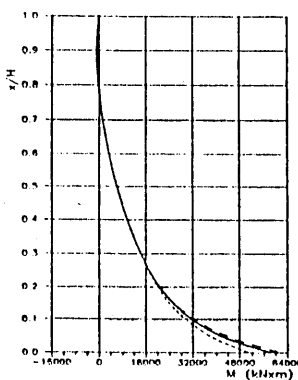
Perde Eksenel Kuvvetleri.....



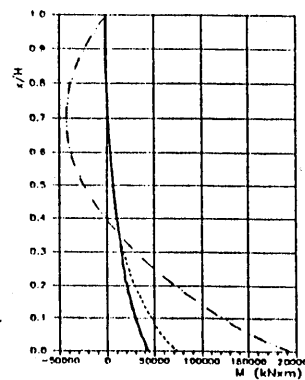
Perde Eksenel Kuvvetleri.....



Perde Toplam Momenteri.....



Perde Toplam Momenteri.....



Perde Toplam Momenteri.....

**Sekil 4.** Sistemin Elastik ve Elasto - Plastik Davranışına İlişkin Kesit Tesirleri ( $q$ ,  $T$ ,  $M$ )  
 Elastik Davranış: (a) Tekil Temel; (b) Sürekli Temel; (c) Elasto-Plastik Davranış-Tekil Temel

## **SONUÇLAR**

Elastik zemine oturan boşluklu perde sistem alınarak temel dönme ve çökmelerinin sistemin davranışına etkileri incelenmiştir. Bulunan bağıntıların bazı örnek sistemlere uygulanmasından aşağıdaki sonuçlara varılmıştır:

**1-** Taşıma gücü düşük zeminlerde temel şekli boşluklu perde sistemin davranışında önemli rol oynamaktadır. Örneğin, yatay yük altındaki boşluklu perdenin sürekli temele oturması durumunda; perde tabanındaki eksenel düşey kuvvet ( $T_0$ ), tekil temel durumundakine göre azalırken, momentlerde büyük artışlar gözlenmektedir. Zeminin taşıma gücü arttıkça, inceleme konusu temel dönmeleri azaldığından bu etki de azalmakta ve bekleniği gibi rıjıt zeminlerde sıfırın inmektedir.

**2-** Taşıma gücü düşük zeminlerdeki tekil temel durumunda, boşluklu perde tabanındaki eksenel kuvvet ( $T_0$ ) artarken, momentlerde ( $M_0$ ) büyük azalmalar görülmektedir. Sürekli temel düzeneinde bunun tam tersi bir durum ortaya çıkmaktadır; perde tabanındaki eksenel kuvvet azalmakta, momentler ise artmaktadır.

**3-** Boşluklu perdenin elasto-plastik davranışında; orta dayanıklı zeminlerde I, taşıma gücü düşük zeminlerde ve eğilme rıjitliği büyük bağlantı kırıslı sisteme II, rıjıt zemin, sürekli temel ve eğilme rıjitliği küçük bağlantı kırıslı sisteme ise III. durumların egemen olduğu üç değişik elasto-plastik davranış şekli ortaya çıkmaktadır.

Bütün bunlardan taşıyıcı sistemlerin hesabında üst yapı - zemin ve temellerin birlikte düşünülmesi gerekliliği anlaşılmaktadır. Bunun için de zemin özelliklerinin eksiksiz saptanması zorunludur. Ayrıca taşıma gücü düşük-çürük zeminlerde, ıslah vb. iyileştirmelerin, sistemin davranışına olumlu katkısı açık olarak görülmektedir.

## **KAYNAKLAR**

1. Ayazoğlu, Ü.(1994) " Perdeli Çerçeve Sistemlerde Temel Dönmelerinin Üst Yapıya Etkisi ", İ.T.Ü. Fen Bilimleri Enstitüsü, Doktora Çalışması.
2. Beck, H.(1962) " Boşluklu Perdelerin İncelenmesi için Yardımcı Bilgiler ", ACI Jour., Vol. 59, No 8, pp. 1055-1070, (İngilizce).
3. Chan, H.C.(1989) " Rıjitleştirilmiş Boşluklu Perdeler ", ASCE, Jour. Eng. Mech., Vol.115, No 4, pp. 689-703, (İngilizce).
4. Coull, A.(1991) " Rıjitleştirilmiş Boşluklu Perdeler ", ASCE, Jour. Struc. Eng., Vol. 117, No 8, pp. 2205-2223, (İngilizce).
5. Coull, A.(1971) " Elastik Zeminle boşluklu Perdenin Etkileşimi ", ACI Jour., Vol.68, No 6, pp.456-461, (İngilizce).
6. Gluck, J.(1973) " Boşluklu Perdelerin Elasto-Plastik İncelenmesi ", ASCE, Jour. Struc. Division, Vol.99, No ST8, pp.1743-1760, (İngilizce).
7. Pekao, O. A.(1989) " Elastik Zemine Oturan Boşluklu Perdenin Lineer Olmayan Davranışı ", Can. Jour. Civ. Eng., Vol.16, pp.45-54, (İngilizce).
8. Tso, W. K.(1972) " Elastik Zeminin Boşluklu Perdelere Etkisi ", ACI Jour., pp. 678-683, (İngilizce).